

对文献复习及本病例诊断过程,体会到SPCH做为一种独立疾病,在诊断方面影像与病理结合必不可少,病理科医生能通过组织病理学及免疫组化诊断为肺毛细血管瘤,但镜下组织有限,需结合CT检查才能确定肺内病灶为孤立的而非弥漫性病变,只有影像与病理相结合才易于鉴别SPCH与PCH。

参考文献

- [1] Hashimoto Hirotsugu, Kurata Atsushi, Fujiwara Masachika, et al. Solitary pulmonary capillary hemangioma of adult cases: clinicopathologic characteristics as an unrecognized entity[J]. The American Journal of Surgical Pathology, 2016, 40(10): 1380-1389.
- [2] Fugo K, Matsuno Y, Okamoto K, et al. Solitary capillary hemangioma of the lung: report of 2 resected cases detected by high-resolution CT[J]. Am J Surg Pathol, 2006, 30(6): 750-753.
- [3] 赵勤华, 吴文汇, 官素岗, 等. 肺静脉闭塞病及肺毛细血管瘤病的临床和影像学特点[J]. 中华结核和呼吸杂志, 2018, 41(1): 41-46.
- [4] Zhao J, Shao J, Zhu L, et al. Solitary pulmonary capillary hemangioma: clinicopathologic and radiologic characteristics of nine surgically resected cases[J]. Pathol Res Pract, 2014(11): 1885-1891.
- [5] 周逸鸣, 戴洁, 徐小雄, 等. 孤立性肺毛细血管瘤10例临床分析[J]. 中华外科杂志, 2021, 59(1): 66-70.
- [6] Taniguchi D, Taniguchi H, Sano I, et al. Solitary capillary hemangioma in the lung: report of a case[J]. Kyobu Geka, 2010, 63(5): 423-425.
- [7] Hashimoto Hirotsugu, Yanagiya Masahiro, Suzuki Yoshio, et al. A case of solitary pulmonary capillary hemangioma indicating true gross appearance[J]. Pathology International, 2017, 67(6): 322-323.
- [8] Sakaguchi Yasuto, Isowa Noritaka, Tokuyasu Hirokazu, et al. A resected case of solitary pulmonary capillary hemangioma showing pure ground glass opacity[J]. Annals of Thoracic and Cardiovascular Surgery, 2014, 20(Suppl): 578-581.
- [9] Isaka Tetsuya, Yokose Tomoyuki, Ito Hiroyuki, et al. Case of solitary pulmonary capillary hemangioma: pathological features based on frozen section analysis[J]. Pathology International, 2013, 63(12): 615-618.
- [10] Matsushita Mina, Kawakami Satoshi, Matsushita Tsuyoshi, et al. Changes in CT density of solitary capillary hemangioma of the lung upon varying patient position[J]. Japanese Journal of Radiology, 2012, 30(9): 772-776.
- [11] Zhu Yanmei, Qu Ning, Sun Lili, et al. Solitary pulmonary capillary hemangioma presents as ground glass opacity on computed tomography indicating adenocarcinoma in situ/atypical adenomatous hyperplasia: a case report[J]. Biomed Rep, 2017, 7(6): 515-519.
- [12] Hsieh M S, Lee Y H, Lin M W, et al. Solitary pulmonary capillary hemangioma: an under-recognized pulmonary lesion mimicking early lung cancer on computed tomography images[J]. Lung Cancer, 2018, 124(10): 227-232.
- [13] Zhao J, Shao J, Zhu L, et al. Solitary pulmonary capillary hemangioma: Clinicopathologic and radiologic characteristics of nine surgically resected cases[J]. Pathology Res Pract, 2018, 214(11): 1885-1891.
- [14] 吴进超, 徐小雄, 谢惠康, 等. 孤立性肺毛细血管瘤一例[J]. 中华结核和呼吸杂志, 2021, 44(4): 372-374.
- [15] 谭展玉, 李尚明, 王平. 肺毛细血管瘤1例[J]. 中华解剖与临床杂志, 2022, 27(1): 50-51.

(收稿日期: 2024-01-20)

(校对编辑: 姚丽娜)

· 短篇报道 ·

盆腔罕见成脂型孤立性纤维性肿瘤一例

王小雷 徐东亮 李曼曼 哈传传*

太和县人民医院影像科 (安徽 阜阳 236600)

通讯作者: 哈传传, 男, 副主任医师, 主要研究方向: 颅脑及盆腔MRI诊断。E-mail: 67693422@qq.com

【关键词】盆腔; 磁共振成像; 孤立性纤维瘤

【中图分类号】R445.2

【文献标识码】D

DOI:10.3969/j.issn.1672-5131.2024.08.062

A Case of Rare Lipogenic Solitary Fibrous Tumor of the Pelvis

WANG Xiao-lei, XU Dong-liang, LI Man-man, HA Chuan-chuan*

Department of Imaging, Taihe Country People's Hospital, Fuyang 236600, Anhui Province, China

Keywords: Pelvis; Magnetic Resonance Imaging; Solitary Fibrous Tumor

患者, 女, 78岁, 尿频两月余, 8天前于当地卫生院进行彩超检查, 提示: 盆腔内囊性包块。后在我院进行盆腔MRI检查提示: 盆腔偏右侧多房囊性占位, 体积较大, 分隔及实性成分较多, 内可见出血, 考虑右侧卵巢交界性粘液性囊腺瘤或囊腺癌可能。实验室检查: 癌胚抗原、CA199及CA125均未见明显异常。完善相关检查后全麻下行“经腹腹膜后肿瘤切除术+全子宫+双附件切除术+右侧输尿管部分切除术+右侧输尿管再植术+右侧输尿管支架植入术”, 术后病理结果提示盆腔梭形细胞肿瘤, 有异型, 可见核分裂象, 局部伴出血, 倾向间叶源性肿瘤, 建议免疫组化; 右侧输尿管局部镜检外膜可见肿瘤组织, 断端切缘未见明显异常, 后经上海阿克曼医学检验所免疫组化提示: 符合脂肪瘤样(“成脂型”)孤立性纤维性肿瘤。免疫组化结果:ER(-), PR(-), Desmin(部分+), SMA(-), Caldesmon(-), CD(-), P53(野生型表达), P16(斑片状), CD34(血管+), FH(+), S-100(-), Ki-67(+, 约5%), Calretinin(-), Inhibin a(-), CD117(-), DOG1(-)

), D2-40(-), CK5/6(-), STAT6(核+), H3K27Me3(+), Bcl-2(+), CD99(+).

讨论: 孤立性纤维瘤(solitary fibrous tumor, SFT)起源于间叶组织^[1], 在临床上较为少见, 好发于中、老年人, 性别上无明显差异^[2], 胸膜是SFT最常见的好发部位^[3-4], 但发生在腹盆腔较为少见, 成脂型孤立性纤维瘤更为罕见。SFT可以含成熟的脂肪细胞, 以前被称为脂肪瘤样孤立性纤维瘤, 但现在被认为是SFT的脂肪形成性变异^[5]。

SFT多为类圆形或分叶状, 边界清晰, 在显微镜下可见大量梭形细胞疏密交替排列, 其内可见散在分布的纤维基质及“鹿角样”薄壁间质血管^[5]。免疫组化(immunohistochemical, IHC)结果肿瘤细胞对广谱角蛋白、CKAE1/AE3、CK5/6、34 beta E12、MNF116、CAM5.2、CK、CK19、EMA和p63均为阴性, 基本排除了低级别化生性癌。肿瘤细胞对波形蛋白、CD34、STAT-6呈强烈和弥漫性免疫阳性, 这种IHC特征有利于诊断成脂型孤立性

纤维瘤^[6]。

常规影像学检查对其诊断虽然不具有特异性，但仍是目前临床上主要的诊断技术^[7]。CT平扫病灶密度不均匀，以软组织密度为主，囊变坏死区呈低密度。SFT病灶MRI信号上的差异提示了瘤体所含组织成分不同，黏液样变性区在T₂WI序列上表现为高信号，胶原纤维组织成分在T₂WI序列上表现为低信号^[8]，因此病灶延迟强化；由于肿瘤内部血供较为丰富，动脉期病灶明显强化，瘤周可见

蛇纹石血管^[9]。T₂WI的低信号特征对SFT有一定的诊断价值。

成脂型孤立性纤维瘤影像学诊断困难，发生于盆腔时需要与交界性卵巢粘液性囊腺瘤/癌、神经鞘瘤、脂肪肉瘤或其他间叶组织源性肿瘤进行鉴别，虽然影像学是目前临床常用诊断手段，但其诊断金标准仍是穿刺或术后病理免疫组化^[10]。目前临床上SFT常见的治疗方案是手术根治性切除，术后预后良好。

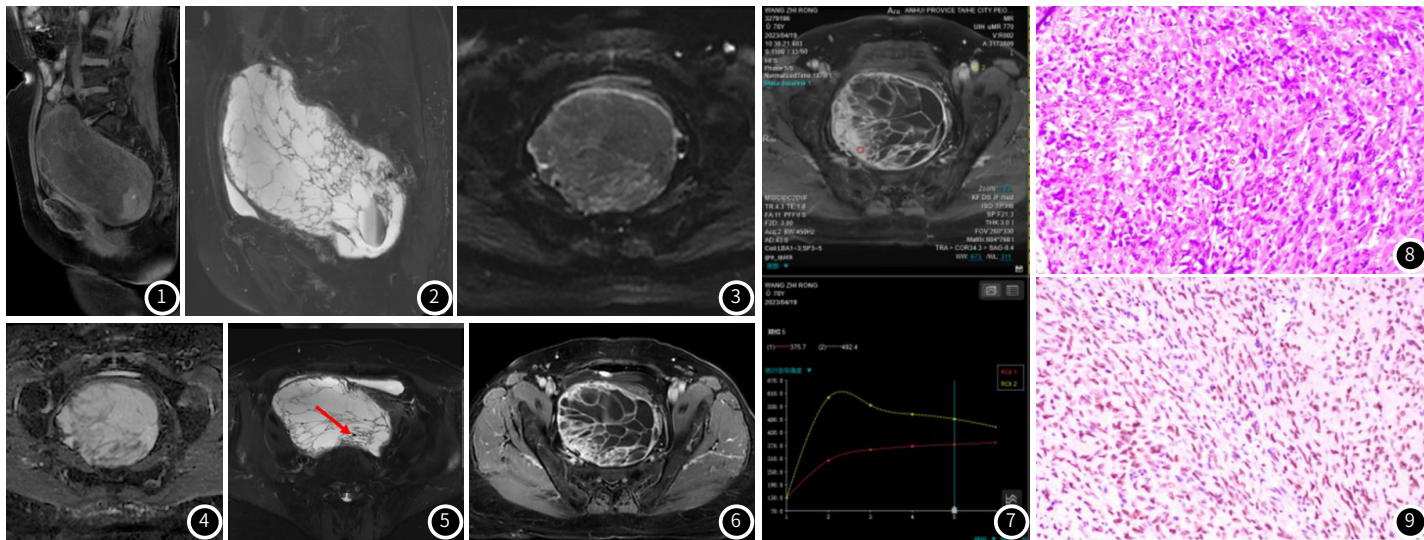


图1 T₁WI示盆腔内见团块状高、低混杂信号；
 图2 T₂WI示病灶以囊性为主，多发分隔，并可见液-液平面（考虑合并出血）；
 图3 DWI序列病灶实性成分及分隔呈高信号；
 图4 病灶相应部位ADC图呈低信号；
 图5 T₂WI轴位像病灶内及边缘可见多发流空血管影（红箭头所示）；
 图6 增强扫描病灶实性成分及囊壁可见明显强化，囊液无明显强化；
 图7 选取实性成分作为感兴趣区域，时间-信号曲线呈缓慢流入型；
 图8 HE染色，镜下可见大量梭形细胞交替排列；图9 免疫组化染色可见STAT6(核+)。

参考文献

[1] 钱国珍, 孙永灿, 纪东旭, 等. 腹盆部良、恶性孤立性纤维瘤的CT鉴别诊断价值及病理学基础[J]. 中国CT和MRI杂志, 2023, 21(6): 153-155.
 [2] 谢田, 王文斌, 俞祯妮. 头颈部孤立性纤维瘤MR分析及鉴别诊断[J]. 罕少疾病杂志, 2021, 28(06): 12-14.
 [3] Ronchi A, Cozzolino I, Zito Marino F, et al. Extrapleural solitary fibrous tumor: a distinct entity from pleural solitary fibrous tumor. An update on clinical, molecular and diagnostic features[J]. Ann Diagn Pathol, 2018, 34: 142-150.
 [4] 周鑫, 石义志. 胸膜及胸膜外孤立性纤维瘤病患者CT、MRI表现及鉴别诊断[J]. 中国CT和MRI杂志, 2022, 20(02): 63-65, 165.
 [5] Doyle LA. Sarcoma classification: an update based on the 2013 World Health Organization classification of tumors of soft tissue and bone[J]. Cancer, 2014, 120(12): 1763-1774.
 [6] Ben Ghashir NS, Balalaa NA, Anam W, et al. Lipomatous (Fat-forming) solitary fibrous tumor of the breast: a case report of an uncommon variant of a rare clinical entity[J]. Case Rep Oncol, 2022, 15(1): 455-461.
 [7] de Lemos ML, Kang I, Schaff K. Efficacy of bevacizumab and temozolomide therapy in locally advanced, recurrent, and metastatic malignant solitary fibrous tumour: a population-based analysis[J]. J Oncol Pharm Pract, 2019, 25(6): 1301-1304.
 [8] 梅磊磊, 袁蕾, 唐文英, 等. 孤立性纤维瘤的影像表现及临床病理特征[J]. 放射学实践, 2022, 37(5): 566-570.
 [9] Lin Chuxin, Yu Xiangrong. Magnetic resonance imaging features of a solitary fibrous tumor of the vulva: a case report[J]. J Int Med Res, 2022, 50: 3000605221112201.
 [10] Ma HY, Feng MT, Hong YG. Calcifying fibrous pseudotumor in the pelvic cavity: a case report and review of the literature[J]. Mol Clin Oncol, 2020, 12(3): 268-272.

(收稿日期: 2023-08-26)

(校对编辑: 姚丽娜)